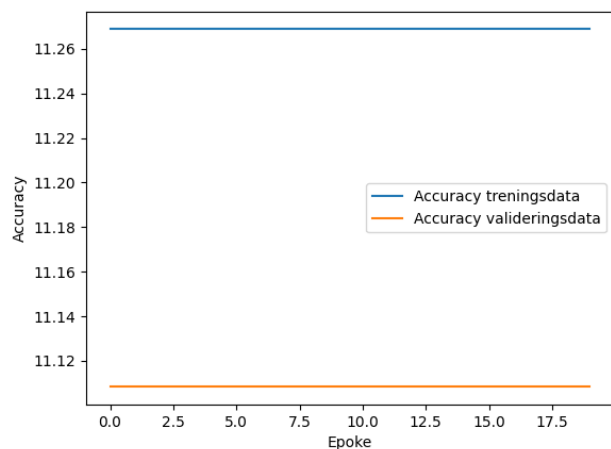
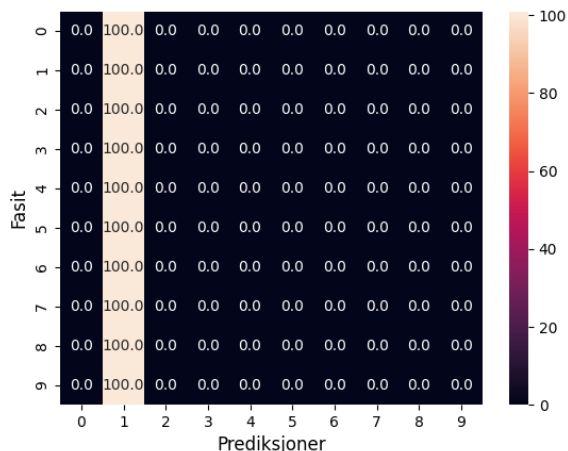


## Vedlegg E

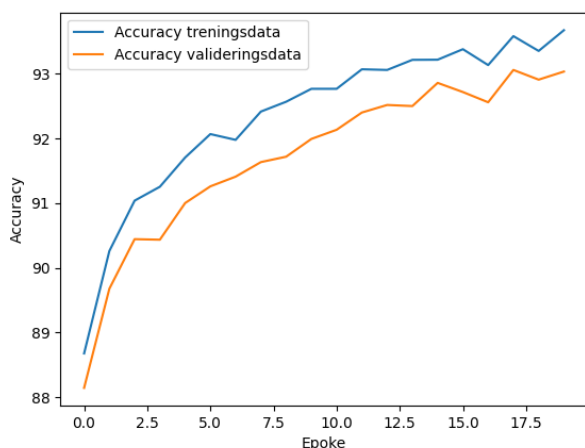
Under er det vist plott av nøyaktighet som funksjon av epoke for trenings- og valideringsdata for alle de kjørte modellene med CNN med to konvolusjonslag, samt feilmatriser for valideringsdataene etter 20 epoker. Legg merke til at fargeskalaen på feilmatrisene har ulike grenser, for at variasjonene skulle komme godt frem, og skalaen for nøyaktighet også varierer avhengig av hvor godt modellen gjorde det.



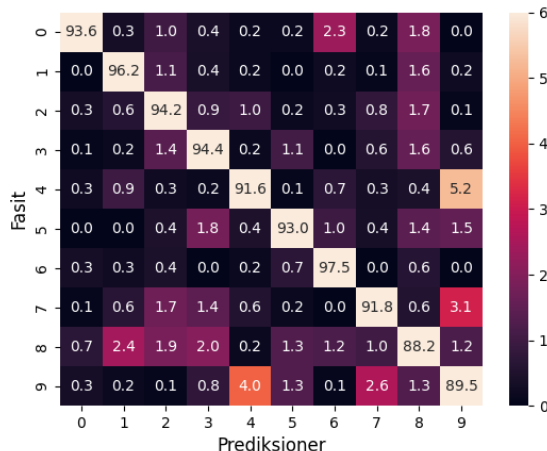
Figur 1 : Nøyaktighet som funksjon av epoke for CNN Modell 17 (to konvolusjonslag, ett filter i begge lag, filterdimensjon 3, stride 1 og padding 1).



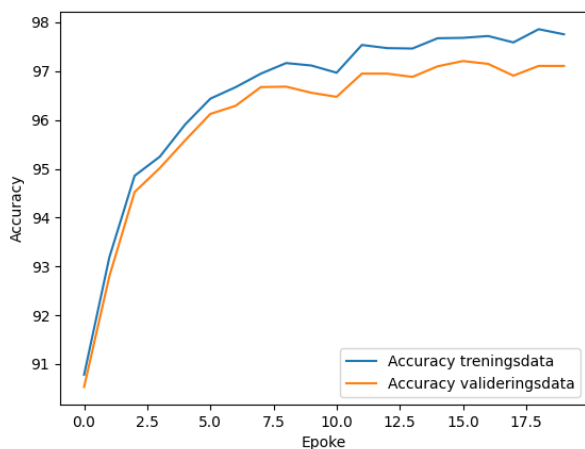
Figur 1: Feilmatrixe for valideringsdataene etter 20 epoker for CNN Modell 17 (to konvolusjonslag, ett filter i begge lag, filterdimensjon 3, stride 1 og padding 1).



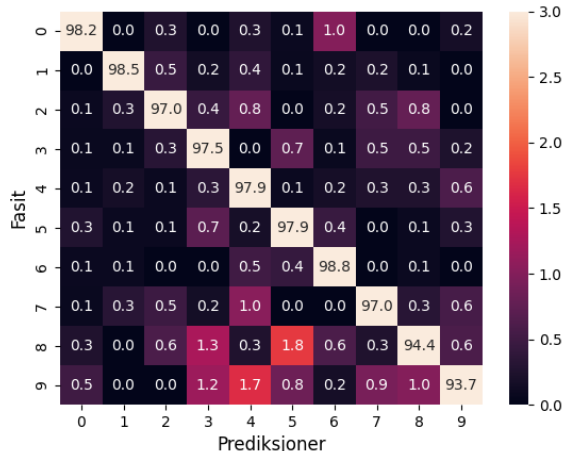
Figur 2: Nøyaktighet som funksjon av epoke for CNN Modell 18 (to konvolusjonslag, ett filter i begge lag, filterdimensjon 5, stride 1 og padding 2).



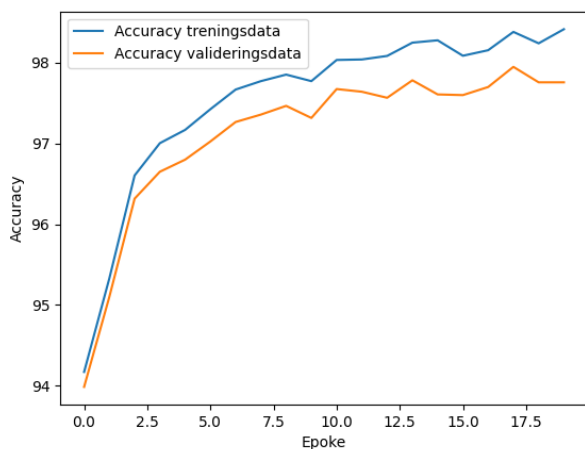
Figur 3: Feilmatrixe for valideringsdataene etter 20 epoker for CNN Modell 18 (to konvolusjonslag, ett filter i begge lag, filterdimensjon 5, stride 1 og padding 2).



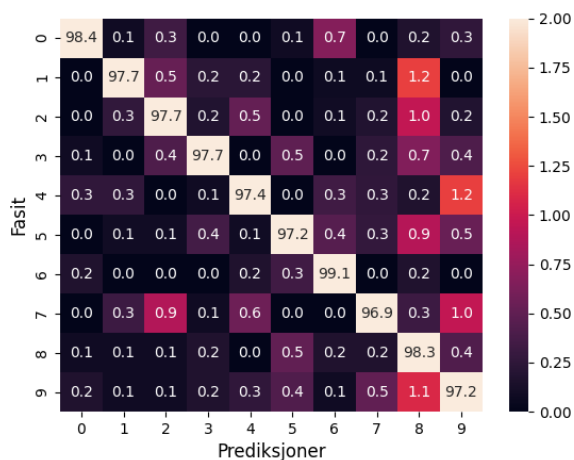
Figur 4: Nøyaktighet som funksjon av epoke for CNN Modell 21 (to konvolusjonslag, 2+4 filter, filterdimensjon 3, stride 1 og padding 1).



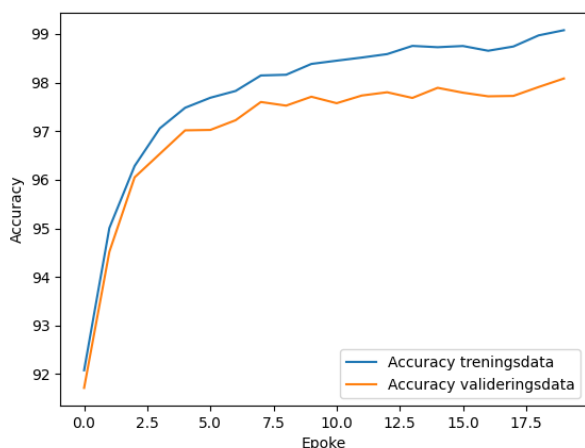
Figur 5: Feilmatrixe for valideringsdataene etter 20 epoker for CNN Modell 21 (to konvolusjonslag, 2+4 filter, filterdimensjon 3, stride 1 og padding 1).



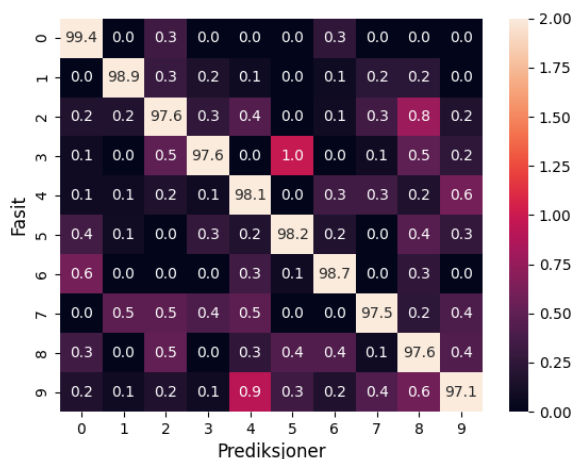
Figur 6: Nøyaktighet som funksjon av epoke for CNN Modell 22 (to konvolusjonslag, 2+4 filter, filterdimensjon 5, stride 1 og padding 2).



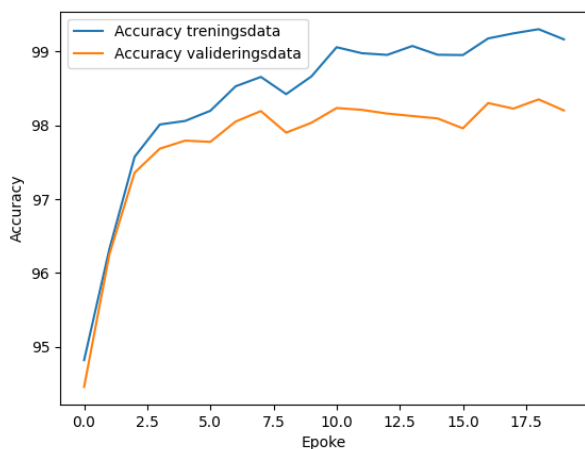
Figur 7: Feilmatrix for valideringsdataene etter 20 epoker for CNN Modell 22 (to konvolusjonslag, 2+4 filter, filterdimensjon 5, stride 1 og padding 2).



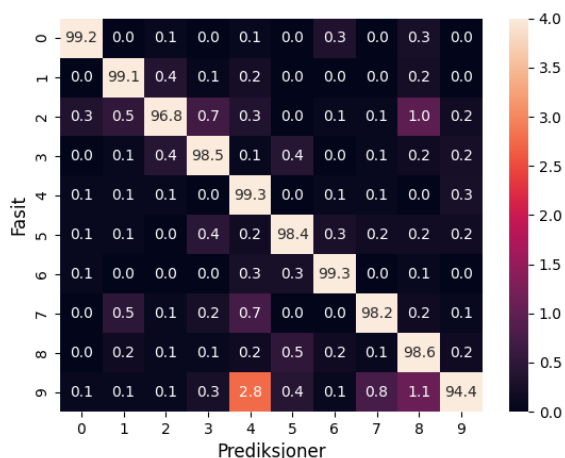
Figur 8: Nøyaktighet som funksjon av epoke for CNN Modell 25 (to konvolusjonslag, 4+8 filter, filterdimensjon 3, stride 1 og padding 1).



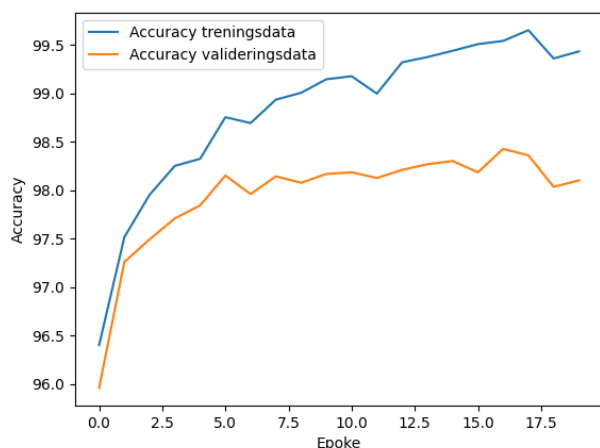
Figur 9: Feilmatrix for valideringsdataene etter 20 epoker for CNN Modell 25 (to konvolusjonslag, 4+8 filter, filterdimensjon 3, stride 1 og padding 1).



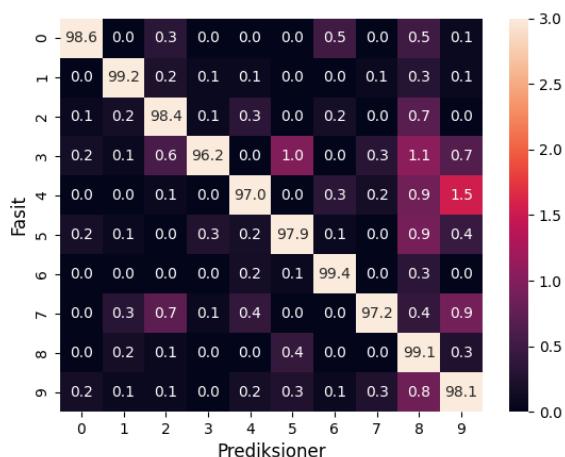
Figur 10: Nøyaktighet som funksjon av epoke for CNN Modell 26 (to konvolusjonslag, 4+8 filter, filterdimensjon 5, stride 1 og padding 2).



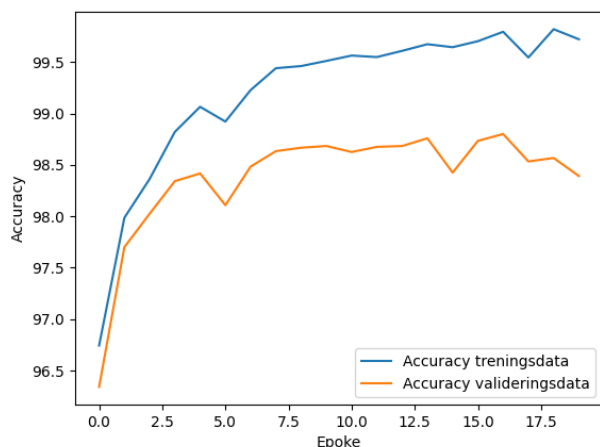
Figur 11: Feilmatrixe for valideringsdataene etter 20 epoker for CNN Modell 26 (to konvolusjonslag, 4+8 filter, filterdimensjon 5, stride 1 og padding 2).



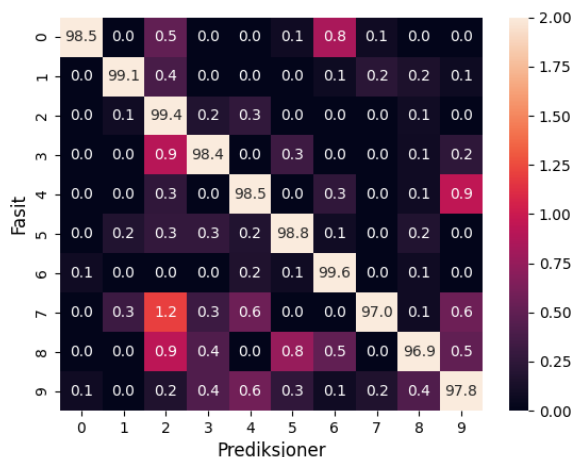
Figur 12: Nøyaktighet som funksjon av epoke for CNN Modell 29 (to konvolusjonslag, 8+16 filter, filterdimensjon 3, stride 1 og padding 1).



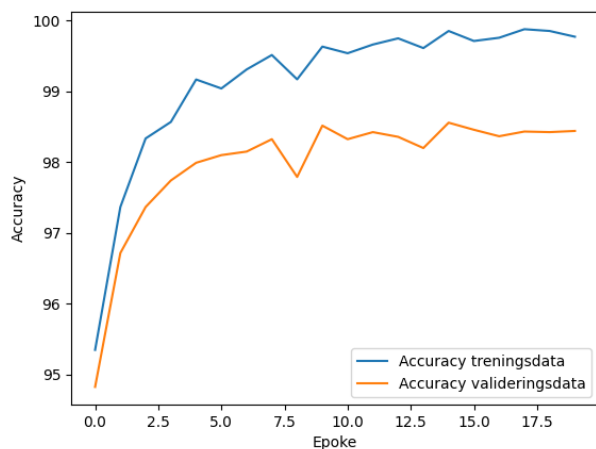
Figur 13: Feilmatrixe for valideringsdataene etter 20 epoker for CNN Modell 29 (to konvolusjonslag, 8+16 filter, filterdimensjon 3, stride 1 og padding 1).



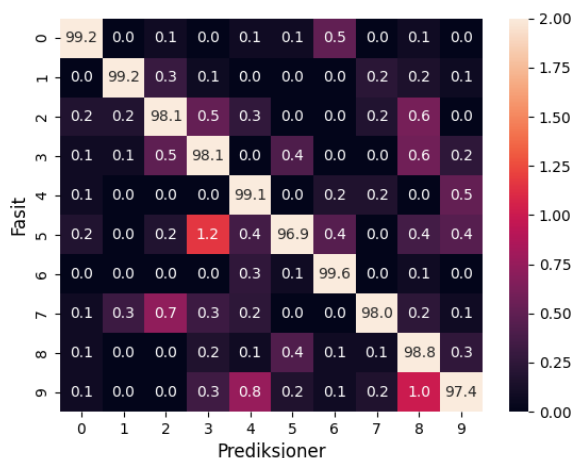
Figur 14: Nøyaktighet som funksjon av epoke for CNN Modell 30 (to konvolusjonslag, 8+16 filter, filterdimensjon 5, stride 1 og padding 2).



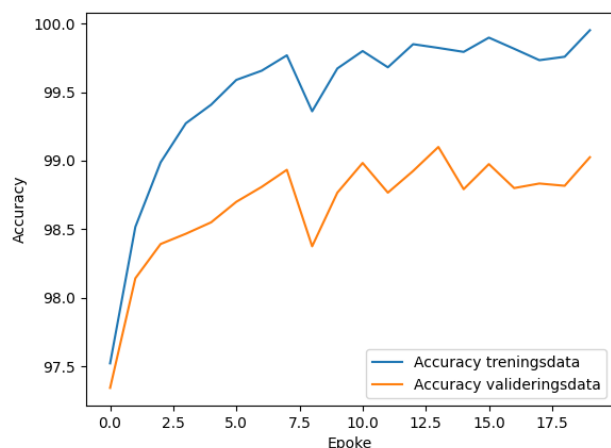
Figur 15: Feilmatrixe for valideringsdataene etter 20 epoker for CNN Modell 30 (to konvolusjonslag, 8+16 filter, filterdimensjon 5, stride 1 og padding 2).



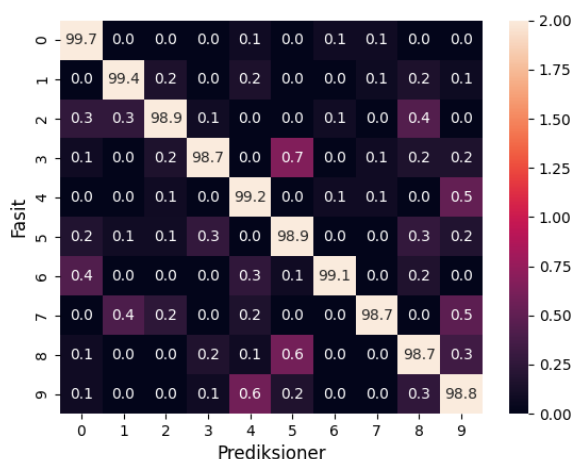
Figur 16: Nøyaktighet som funksjon av epoke for en arkitektur laget for å ligne LeNet5-arkitekturen. 2 konvolusjonslag og to fullt koblete lag.



Figur 17: Feilmatrise for valideringsdataene etter 20 epoker for en arkitektur laget for å ligne LeNet5-arkitekturen. 2 konvolusjonslag og to fullt koblete lag.



Figur 18: Nøyaktighet som funksjon av epoke for CNN Modell 30 modifisert (to konvolusjonslag, 8+16 filter, filterdimensjon 5, stride 1 og padding 2, utvidet med to fullt koblete skjulte lag på toppen med 500+150 noder).



Figur 19: Feilmatrise for valideringsdataene etter 20 epoker for CNN Modell 30 modifisert (to konvolusjonslag, 8+16 filter, filterdimensjon 5, stride 1 og padding 2, utvidet med to fullt koblete skjulte lag på toppen med 500+150 noder).